

Letzte Aktualisierung der Informationen: November 2024

Produktkonfiguration: Q434+QH99.12

Q434: Anfangsmodul MinimalUp/Down Office /Working UGR < 19L 3594

QH99.12: Einbauplatte - Up / Down - Office/Working UGR<19 - ON-OFF - LED Warm - 3588 - 70W 7615lm - 3000K - aluminium

**Produktcode**

Q434: Anfangsmodul MinimalUp/Down Office /Working UGR < 19L 3594

Beschreibung

Anfangsprofil aus stranggepresstem Aluminium für die Version Minimal (rahmenlos) für deckenbündigen Einbau für Up- & Down-Lichtausgabe; unterer Schirm mit Mikroprismen-Blendschutz für kontrollierte Leuchtdichte UGR < 19 - 3000 cd/m² (working lighting); Blendschutz voreingestellt für die Verbindung mehrerer Längen durch Überlappung. Blendschutz für obere Lichtverteilung aus lichtstreuendem Metacrylat. Aufteilung des Lichtstroms ca. 70% down / 30% up.

Installation

Installation als Hängeleuchte mit eigenem, separat zu bestellendem Zubehör. Die Anfangsmodule können bei den verschiedenen Versionen unabhängig eingesetzt werden; sie werden mit den zum Zubehör gehörenden Endstücken und dem vorgesehenen LED-Modul ergänzt.

Farben

Weiß (01)* | Aluminium (12)*

Gewicht (Kg)

8.5

* Farben auf Anfrage

Montage

Wandanbauleuchte | Pendelleuchte

Verkabelung

Für die Bestückung mit den für das System vorgesehenen LED-Modulen vorgerüstet.

Anmerkungen

Achten Sie auf die Zusammenstellung des Systems: Lichtreihen können anhand der Zwischenmodule zusammengestellt werden; um eine Reiheninstallation korrekt abzuschließen, muss am Anfang bzw. am Ende der Lichtreihe immer ein Anfangsmodul installiert werden.

Gemäß der Normen EN60598-1 u. Sondernormen



IP20

**Produktcode**

QH99.12: Einbauplatte - Up / Down - Office/Working UGR<19 - ON-OFF - LED Warm - 3588 - 70W 7615lm - 3000K - aluminium

Warnung! Code eingestellt

Beschreibung

LED-Modul, das zur Installation in den Anfangs- bzw. Zwischenprofilen des Systems vorgesehen ist, besonders geeignet für Lichtreihen beträchtlicher Länge. Up/Down-Lichtausgabe mit hoher Leuchtkraft für Working-Profile (mit unterem Mikroprismen-Blendschutz für kontrollierte Leuchtdichte). Integrierte elektronische Versorgungsanlage. Wärmeableiter aus stranggepresstem Aluminium; Lichtstromverstärker mit hoher Emissionsleistung. LED Warm 3000K.

Installation

Leichtes Einsetzen der Module in die Profile durch ein Schnellverriegelungssystem.

Farben

Neutral (00) | Weiß (01)

Gewicht (Kg)

4.9

Verkabelung

Einfache Installation mittels Schnellklemmenanschluss für vereinfachten Anschluss zwischen den in Reihe installierten Modulen. Komplett mit integrierter Versorgungseinheit ON-OFF - nicht dimmbar.

Anmerkungen

Achtung: Das Leuchtmodul mit Dreifachlänge kann sowohl an Anfangsprofile - L 3594 - für unabhängige (Stand-Alone)-Anwendungen als auch für Zwischenprofile - L 3594 - für Anwendungen in Reiheninstallation angepasst werden.

Gemäß der Normen EN60598-1 u. Sondernormen



IP20

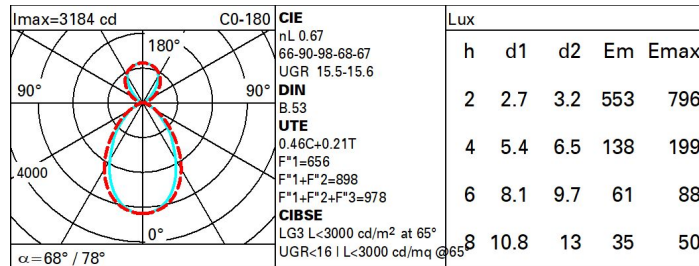


pending

Technische Daten

| | | | |
|---|-------|-----------------------------------|---------------------------------|
| Im System: | 7571 | Farbtemperatur [K]: | 3000 |
| W System: | 69.7 | MacAdam Step: | 3 |
| Im Lichtquelle: | 11300 | Lebensdauer LED 1: | > 50,000h - L90 - B10 (Ta 25°C) |
| W Lichtquelle: | 61 | Eingangsspannung [V]: | 230 |
| Lichtausbeute (lm/W, Systemwert): | 108.6 | Lampencode: | LED |
| Im im Notlichtbetrieb: | - | Anzahl Lampen in Leuchtengehäuse: | 1 |
| abgegebener Lichtstrom bei/ über einem Winkel von 90° [lm]: | 2402 | ZVEI-Code: | LED |
| Leuchtenbetriebswirkungsgrad 67 (L.O.R.) [%]: | | Anzahl Leuchtengehäuse: | 1 |
| CRI (minimum): | 80 | | |

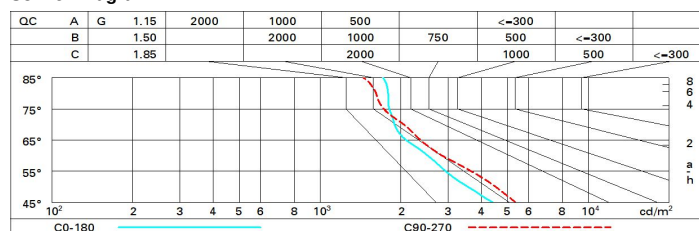
Polardiagramm



Wirkungsgrad

| R | 77 | 75 | 73 | 71 | 55 | 53 | 33 | 00 | DRR |
|------|----|----|----|----|----|----|----|----|-----|
| K0.8 | 43 | 38 | 34 | 31 | 35 | 31 | 29 | 24 | 53 |
| 1.0 | 47 | 42 | 38 | 35 | 39 | 35 | 33 | 27 | 60 |
| 1.5 | 53 | 48 | 45 | 42 | 44 | 42 | 39 | 32 | 71 |
| 2.0 | 56 | 52 | 50 | 47 | 48 | 46 | 42 | 36 | 78 |
| 2.5 | 58 | 55 | 53 | 51 | 50 | 48 | 45 | 38 | 82 |
| 3.0 | 59 | 57 | 55 | 53 | 52 | 50 | 46 | 39 | 86 |
| 4.0 | 61 | 59 | 57 | 56 | 54 | 52 | 48 | 41 | 89 |
| 5.0 | 62 | 60 | 59 | 57 | 55 | 54 | 49 | 42 | 91 |

Söllner-Diagramm



UGR-Diagramm

| Corrected UGR values (at 11300 lm bare lamp luminous flux) | | | | | | | | | | | | |
|--|-----|---------------------|------------|------|------------|------|-------------------|------|------|------|------|--|
| Reflect.: ceiling/cav walls work pl. Room dim x y | | 0.70 | 0.70 | 0.50 | 0.50 | 0.30 | 0.70 | 0.70 | 0.50 | 0.50 | 0.30 | |
| | | 0.50 | 0.30 | 0.50 | 0.30 | 0.30 | 0.50 | 0.30 | 0.50 | 0.30 | 0.30 | |
| | | 0.20 | 0.20 | 0.20 | 0.20 | 0.20 | 0.20 | 0.20 | 0.20 | 0.20 | 0.20 | |
| | | viewed crosswise | | | | | viewed endwise | | | | | |
| 2H | 2H | 13.3 | 14.0 | 14.0 | 14.7 | 15.5 | 14.3 | 15.0 | 15.0 | 15.7 | 16.6 | |
| | 3H | 14.0 | 14.6 | 14.7 | 15.3 | 16.2 | 14.5 | 15.1 | 15.2 | 15.8 | 16.7 | |
| | 4H | 14.3 | 14.9 | 15.1 | 15.6 | 16.5 | 14.5 | 15.0 | 15.2 | 15.8 | 16.7 | |
| | 6H | 14.6 | 15.1 | 15.4 | 15.9 | 16.8 | 14.4 | 14.9 | 15.2 | 15.7 | 16.7 | |
| | 8H | 14.7 | 15.2 | 15.5 | 16.0 | 16.9 | 14.4 | 14.9 | 15.2 | 15.7 | 16.6 | |
| | 12H | 14.8 | 15.3 | 15.6 | 16.0 | 17.0 | 14.3 | 14.8 | 15.1 | 15.6 | 16.6 | |
| 4H | 2H | 13.6 | 14.2 | 14.4 | 14.9 | 15.8 | 15.1 | 15.7 | 15.9 | 16.5 | 17.4 | |
| | 3H | 14.4 | 14.9 | 15.2 | 15.7 | 16.7 | 15.4 | 15.9 | 16.2 | 16.7 | 17.7 | |
| | 4H | 14.9 | 15.3 | 15.7 | 16.1 | 17.1 | 15.5 | 16.0 | 16.3 | 16.8 | 17.7 | |
| | 6H | 15.3 | 15.7 | 16.1 | 16.5 | 17.5 | 15.6 | 16.0 | 16.4 | 16.8 | 17.8 | |
| | 8H | 15.5 | 15.8 | 16.3 | 16.6 | 17.7 | 15.6 | 15.9 | 16.4 | 16.8 | 17.8 | |
| | 12H | 15.6 | 15.9 | 16.4 | 16.7 | 17.8 | 15.6 | 15.9 | 16.4 | 16.7 | 17.8 | |
| 8H | 4H | 15.0 | 15.3 | 15.8 | 16.2 | 17.2 | 15.9 | 16.2 | 16.7 | 17.1 | 18.1 | |
| | 6H | 15.6 | 15.8 | 16.4 | 16.7 | 17.8 | 16.1 | 16.4 | 16.9 | 17.2 | 18.3 | |
| | 8H | 15.8 | 16.0 | 16.7 | 16.9 | 18.0 | 16.2 | 16.4 | 17.0 | 17.3 | 18.4 | |
| | 12H | 16.0 | 16.2 | 16.9 | 17.1 | 18.2 | 16.2 | 16.4 | 17.1 | 17.3 | 18.4 | |
| 12H | 4H | 15.0 | 15.3 | 15.8 | 16.1 | 17.2 | 15.9 | 16.2 | 16.8 | 17.1 | 18.1 | |
| | 6H | 15.6 | 15.8 | 16.5 | 16.7 | 17.8 | 16.2 | 16.4 | 17.0 | 17.3 | 18.4 | |
| | 8H | 15.9 | 16.1 | 16.8 | 17.0 | 18.1 | 16.3 | 16.5 | 17.2 | 17.4 | 18.5 | |
| Variations with the observer position at spacing: | | | | | | | | | | | | |
| S = | | 1.0H | 0.3 / -0.5 | | 0.3 / -0.4 | | | | | | | |
| | | 1.5H | 0.5 / -0.9 | | 0.6 / -1.1 | | | | | | | |
| | | 2.0H | 1.2 / -1.3 | | 1.5 / -1.5 | | | | | | | |